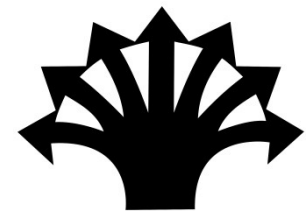


لَهُ مُلْكُ الْأَرْضِ
وَالنَّسْكُ مِنْ حَمْلِهِ



پژوهشگاه مواد و ارزشی

پایان نامه کارشناسی ارشد رشته مهندسی انرژی های نو و تجدید پذیر

موضوع

افزایش توان تولیدی توربین بادی با تزریق انرژی ذخیره شده در چرخ طیار در لحظات نیاز به شتابگیری
توربین بادی

استادان راهنمای:

دکتر کمال عباسپور ثانی

دکتر غلامحسین ریاحی دهکردی

نگارنده:

عادله رضائی راد

سال تحصیلی ۱۳۸۹-۱۳۹۰

تهدیم به

پردم که عالمانه به من آموخت تا چکونه در عرصه زندگی، ایستادگی را تجربه نایم

وبه مادرم، دیایی بی کران فذ کاری و عشق که وجودم برایش همه رنج بود و وجودش برایم همه سر

با تقدیر و مشکر شایسته از استاد فریخته و فرزانه جناب آقایان دکتر ریاحی دلکردی و دکتر عباسورثانی که باراهمانی های
بجا و خردمندانه خویش در ارائه این پایان نامه بنده را میاری نمودند. به عنین بجاست از گهک های جبران نادر دوستان
عزیزم سپاسگزاری و مشکر نایم.

حق تالیف/گردآوری و تحقیق

این پژوهه تحقیقاتی به شماره ثبت ۵۷۸۸۶۷ در پژوهشگاه مواد و انرژی بهتر سیده استو کلیه دستاوردهای تحقیقاتی شامل نتایج نظری، نتایج علمی و عملی، دانش فنی و سایر موارد مربوط به این پژوهه متعلق به پژوهشگاه مواد و انرژی می باشد. بهره برداری از نتایج پژوهه برای موسسات دولتی و غیر دولتی با مجوز پژوهشگاه مواد و انرژی و درج نام پژوهشگاه مواد و انرژی امکان پذیر است.

چکیده

با توجه به بالا بودن ممان اینرسی توربین بادی، هنگام تغییرات سرعت باد، تغییر سریع سرعت زاویه-ای پره توربین بادی امکان‌پذیر نمی‌باشد. این امر موجب کاهش راندمان آثروبدینامیکی توربین بادی و در نتیجه کاهش انرژی خروجی می‌گردد، لذا تزریق انرژی در لحظات تغییر ناگهانی سرعت باد می‌تواند موجب افزایش شتاب محور چرخان توربین شده و بازگشت سریع توربین به نقطه بهینه کار خود حاصل می‌گردد که این امر می‌تواند موجب افزایش انرژی خروجی گردد.

در زمان کاهش سرعت باد سرعت توربین کم می‌شود. با اتصال چرخ طیار و در نتیجه افزایش بار توربین بادی در زمان ترمز، چرخ لنگر شارژ شده و در نتیجه کاهش سرعت توربین سریعتر انجام می‌پذیرد. در هنگام افزایش سرعت باد با اتصال چرخ لنگر به توربین می‌توان در زمان کمتری سرعت توربین بادی را به سرعت نامی رساند. چرخ لنگر به نسبت دیگر ذخیره کننده‌ها دارای چگالی انرژی بالاتر می‌باشد و همچنین حافظه‌دار نبوده و در نتیجه می‌توان دفعات متعددی آن را شارژ و تخلیه نمود. همچنین چرخ لنگر نیاز به تبدیل انرژی ندارد و انرژی مکانیکی را به صورت مکانیکی ذخیره می‌کند.

در این پژوهه به بررسی تزریق انرژی در هنگام تغییر سرعت باد توسط چرخ لنگر به منظور افزایش توان تولیدی توربین بادی پرداخته می‌شود. همچنین سامانه ترکیبی توربین بادی- چرخ لنگر با استفاده از روابط حاکم بر آن مدل‌سازی شده مدل حاصل در محیط نرم‌افزاری MATLAB شبیه‌سازی شده است.

به لحاظ اینکه عملکرد چرخ لنگر در موقع تغییر سرعت باد در بازه زمانی کوتاه انجام می‌گیرد، مدل ارائه شده به تابع ورودی باد که در فاصله زمانی کم ثبت شده است، نیاز دارد. لذا جهت راهاندازی مدل از اطلاعات باد شهر ملبورن استرالیا استفاده شده است. نتایج نشان می‌دهد که به کار گیری چرخ لنگر در لحظات تغییر ناگهانی سرعت باد، افزایش راندمان توربین را در پی دارد.

کلید واژه: تزریق انرژی، توربین بادی، تغییرات سرعت باد، چرخ طیار، ذخیره انرژی.

فهرست مطالب

صفحه

عنوان

| | |
|----|--|
| ۵ | فهرستجدول‌ها |
| ۵ | فهرستشکل‌ها |
| ۷ | فهرستعلایم‌نوشانه‌ها |
| ۱ | فصل ۱ - مقدمه |
| ۱ | ۱-۱ مقدمه |
| ۲ | ۱-۲ تشریح‌بیانی‌مسئله |
| ۳ | ۱-۳ اهداف‌پژوه |
| ۳ | ۱-۴ مراحل‌نظام‌پژوه |
| ۳ | ۱-۵ ساختار‌پایاننامه |
| ۵ | فصل ۲ - پیشینه‌پژوهش |
| ۸ | فصل ۳ - مروری بر انواع توربین‌بادی بازنظر کارایی و اتصال‌الکتریکی |
| ۸ | ۳-۱ منحنی‌های کارایی توربین‌بادی |
| ۸ | ۳-۱-۱ منحنی $C_P - \lambda$ |
| ۹ | ۳-۱-۲ اثر صلیبتبراندمان |
| ۱۱ | ۳-۱-۳ منحنی $C_Q - \lambda$ |
| ۱۲ | ۳-۱-۴ منحنی $C_T - \lambda$ |
| ۱۲ | ۳-۱-۵ منحنی $P - V$ |
| ۱۳ | ۳-۲ انواع توربین‌بادی |
| ۱۶ | ۳-۳ انواع سیستم‌های الکتریکی توربین‌بادی |
| ۱۶ | ۳-۳-۱ انواع سیستم‌سرعت ثابت |
| ۱۷ | ۳-۳-۲-۱-۱ ژنراتور سنکرونی با اتصال مستقیم به شبکه |
| ۱۷ | ۳-۳-۲-۱-۲ ژنراتور القایی‌با اتصال مستقیم به شبکه |
| ۱۸ | ۳-۳-۳-۱ ژنراتور القایی‌با غرشم‌تغیر |
| ۱۸ | ۳-۳-۴-۱ ژنراتور‌های چندسرعته |
| ۱۹ | ۳-۳-۲-۲ انواع سیستم‌سرعت‌تمغیر |
| ۱۹ | ۳-۳-۲-۱-۲ ژنراتور سنکرونی‌با مغناطیس دائم با اتصال به شبکه توسط مبدل |

| | |
|------------|---|
| ۲۰ | - ژنراتور القایی تغذیه دهنده سویه (DFIG) (۳-۲-۲-۲) |
| ۲۱ | - ژنراتور القایی تغذیه دهنده سویه (۳-۴-۴) |
| ۲۵. | فصل ۴ - ذخیره کننده های انرژی |
| ۲۵ | - نیروگاه های قابلیت مبادله - ذخیره ای (۴-۱-۱) |
| ۲۶ | - ذخیره انرژی های فشرده (۴-۲-۲) |
| ۲۷ | - باتری (۴-۳-۲) |
| ۲۷ | - باتری سرب - اسید (۴-۳-۱) |
| ۲۸ | - باتری نیکل - کادمیوم (۴-۲-۳) |
| ۲۸ | - باتری سدیم - سولفور (۴-۳-۳) |
| | ابرخازن ۲۸ |
| ۲۹ | - ابررسانای ذخیره انرژی مغناطیسی (۴-۵-۴) |
| ۳۰ | - پیلسوختی (۴-۶-۴) |
| ۳۰ | - چرخلنگ (۴-۷-۴) |
| ۳۶ | فصل ۵ - مدل سازی توربین بادی چرخلنگ |
| ۳۶ | - مدل سازی توربین بادی |
| | مدلباد ۳۶ |
| ۳۹ | - مدل رتور (۵-۱-۲) |
| ۴۰ | - مدل سیستم انتقال قدرت (۵-۱-۳) |
| ۴۳ | - کنترل توربین بادی (۵-۱-۴) |
| | کنترلاستال ۴۳ |
| | - ۱-۴-۱-۵ |
| | - ۲-۴-۱-۵ |
| | - ۳-۴-۱-۵ |
| | - ۴-۴-۱-۵ |
| ۴۸ | - کنترل سرعت (۵-۴-۱-۵) |
| ۴۹ | - مدل سازی چرخلنگ (۵-۲-۲) |
| ۴۹ | - پارامترهای طراحی (۵-۲-۱-۱) |
| | - ۱-۲-۵ |
| | - ۲-۱-۲-۵ |
| | - ۳-۱-۲-۵ |
| ۵۰ | - مدل سازی سامانه ترکیبی توربین بادی - چرخلنگ (۵-۳-۲-۵) |
| ۵۳ | فصل ۶ - شبیه سازی نتایج |

| | |
|----------|--------------------------------------|
| ۵۳ | - ۱-۶ شبيه‌سازيتوربينبادي يوچر خلنگر |
| ۶۲ | - ۲-۶ معتبرسازيمدل |
| ۶۳ | - ۳-۶ تغييراتبادورود يبهتوريين |
| ۶۵ | - ۴-۶ خروجي‌ها يشبيه‌سازی |
| ۶۶ | - ۵-۶ نتایجشبيه‌سازی |
| ۷۵ | فصل ۷ - نتيجه‌گیر يوپيشنهادات |
| ۷۶ | ضميمه أ - مشخصاتتوربينبادي GE 1.5 MW |
| ۷۹ | ضميمه ب - سистем منسبتبه واحد |
| | فهرست مراجع ۸۰ |
| ۸۴ | واز هنامه فارسي سيبهانگليسي |
| ۸۶ | واز هنامه انگلري سيبهفاري |

فهرست جداول‌ها

| عنوان | صفحه |
|---|------|
| جدول ۱-۳: راندمان‌زمانی‌تورو هزینه‌نسبیاً نهاد را نوع اعیسی است. متور بینبادی | ۲۱ |
| جدول ۱-۴: فاکتور شکل برای چند مدل لچر خلنگر | ۳۲ |
| جدول ۲-۴: پارامترهای فیزیکی مواد مختلف | ۳۲ |
| جدول ۳-۴: مشخصات سیستم‌ها یا ذخیره انرژی | ۳۴ |
| جدول ۴-۵: ضریب‌های مواردی برای بخش طوح | ۳۸ |
| جدول ۵-۶: ضرایب $\alpha_{i,j}$ | ۵۵ |
| جدول ۶-۶: پارامترهای کنترلر | ۶۰ |
| جدول ۳-۶: انرژی بسته‌آمد ها ز تور بینبا دار و دیپله | ۶۷ |
| جدول ۴-۶: انرژی بسته‌آمد ها ز تور بینواع عیب او رودی باد واقعی سه بر ارشده | ۷۱ |
| جدول ۵-۶: انرژی بسته‌آمد ها ز تور بینبا درودی باد مدل شده | ۷۳ |

فهرست شکل‌ها

صفحه

عنوان

| | |
|--|----|
| شکل ۱-۱: ظرفیت انرژی بادین صبیحه در جهان بر حسب MW | ۱ |
| شکل ۱-۳: منحنی C_p - λ برای یکتور بینبادی سهپرهای | ۹ |
| شکل ۲-۳: منحنی مشخصه C_p - λ برای یکتور بینبادی | ۹ |
| شکل ۳-۳: اثر تغییر بر صلبیت روی ضریب β و پتانسیل | ۱۰ |
| شکل ۴-۳: اثر صلبیت بر ضریب β و شتاب α | ۱۱ |
| شکل ۵-۳: اثر صلبیت بر نیرو و پیشرانه | ۱۲ |
| شکل ۶-۳: منحنی تو انیکتور بینبادی | ۱۳ |
| شکل ۷-۳: توربین نوع عپسا | ۱۴ |
| شکل ۸-۳: سرعت نسبیدر توربین نوع عبرا | ۱۵ |
| شکل ۹-۳: ژنراتور سنکرون با اتصال مستقیم به شبکه | ۱۷ |
| شکل ۱۰-۳: ژنراتور القایی با اتصال مستقیم به شبکه | ۱۸ |
| شکل ۱۱-۳: ژنراتور القایی متصلب به شبکه با مقاومت متغیر برای کنترل لغزش | ۱۸ |
| شکل ۱۲-۳: ژنراتور سنکرون متصلب به شبکه تو سطمبدل | ۲۰ |
| شکل ۱۳-۳: ژنراتور القایی تغذیه دهنده سویه همت متصلب به شبکه | ۲۰ |
| شکل ۱۴-۳: توربین بادی سرعت متمتغیر با یک ژنراتور القایی دو سویه تغذیه | ۲۲ |
| شکل ۱۵-۳: روابط توان DFIG | ۲۳ |
| شکل ۱۶-۳: دیاگرام معلمکرد سرعت DFIG | ۲۴ |
| شکل ۱-۴: مدل چرخلنگر | ۳۳ |
| شکل ۲-۴: مشخصه زمان پاسخ برای سیستم‌های مختلف ذخیره انرژی | ۳۳ |
| شکل ۱-۵: منحنی C_p - λ | ۴۰ |
| شکل ۲-۵: مدل‌های سیستم‌انتقال‌قدر توربین بادی | ۴۲ |
| شکل ۳-۵: نمونه ایاز منحنی تو انرژی به گامبر حسب سرعت باد | ۴۴ |
| شکل ۴-۵: مقایسه بین کنترل زاویه گام و کنترل استالغیر فعال | ۴۴ |
| شکل ۵-۵: کنترل استالغیر فعال در سرعتهای باد مختلف | ۴۵ |
| شکل ۵-۶: کنترل زاویه گام در سرعتهای متفاوت باد | ۴۶ |
| شکل ۷-۵: جریان تو اندر یکتور بینبادی | ۵۱ |

| | |
|----|---|
| ۵۲ | شکل ۸-۵: مدل دینامیکی اتصال پر خلنگر به تور بینبادی |
| ۵۳ | شکل ۱-۶: ورودی ها و خروجی های تور بینبادی |
| ۵۴ | شکل ۲-۶: بلوک دیاگرام مسیستم تبدیل انرژی تور بینبادی |
| ۵۵ | شکل ۳-۶: منحنی C_p |
| ۵۶ | شکل ۴-۶: بلوک دیاگرام مکنتر لسرعت |
| ۵۷ | شکل ۵-۶: بلوک دیاگرام مکنتر لگشتاور |
| ۵۷ | شکل ۶-۶: نسبت سرعت نوک با بد و نکنتر لسرعت |
| ۵۷ | شکل ۷-۶: بلوک تور بینبادی مجهز به نراثور القایی |
| ۵۸ | شکل ۸-۶: پنجره مشخصات تور بینبادیدر MATLAB |
| ۵۹ | شکل ۹-۶: پنجره مشخصات تور بینبادی باور و دیگشتاور |
| ۵۹ | شکل ۱۰-۶: روش بسته آوردن مشخصه تور بینبرای رایدست آوردن بیشینه هتوان |
| ۵۹ | شکل ۱۱-۶: نمونه مشخصه توان تور بینبادیدر MATLAB |
| ۶۰ | شکل ۱۲-۶: بلوک دیاگرام مکنتر لزاویه گام |
| ۶۱ | شکل ۱۳-۶: بلوک دیاگرام اتصال پر خلنگر به تور بینبادی |
| ۶۱ | شکل ۱۴-۶: جریان توابع بینچرخلنگر و تور بینبادیدر هنگام افزایش کاهش سرعت باد |
| ۶۱ | شکل ۱۵-۶: سامانه ترکیبی تور بینبادی - چرخلنگ شبیه سازی شده |
| ۶۲ | شکل ۱۶-۶: بادور و دی |
| ۶۲ | شکل ۱۷-۶: تغییرات زاویه گام در پاسخ به باد و دی پله |
| ۶۳ | شکل ۱۸-۶: تغییرات سرعت تور زنر اتور در پاسخ به باد و دی پله |
| ۶۴ | شکل ۱۹-۶: باد پله ای بادور و دی به سامانه |
| ۶۴ | شکل ۲۰-۶: باد شهر ملبورن استرالیا |
| ۶۴ | شکل ۲۱-۶: بازارهای باد شهر ملبورن استرالیا |
| ۶۵ | شکل ۲۲-۶: بادور و دید مدل بارفتار باد ملبورن استرالیا |
| ۶۵ | شکل ۲۳-۶: بادور و دید مدل شده |
| ۶۷ | شکل ۲۴-۶: توان خروجی زنر اتور با چرخلنگ رو بدون آن |
| ۶۷ | شکل ۲۵-۶: سرعت تور تور بینبادی با چرخلنگ رو بدون آن |
| ۶۸ | شکل ۲۶-۶: سرعت تور تور بینبادی با چرخلنگ رو بدون آن |
| ۶۸ | شکل ۲۷-۶: توان خروجی تور بینبادی باور و دید باد واقعی چند برابر |
| ۶۹ | شکل ۲۸-۶: سرعت تور بینبادی با باد واقعی چند برابر |
| ۶۹ | شکل ۲۹-۶: بازه ۵۰ ثانیه ای باور و دید بار فتار واقعی |

| | | |
|--|----|-------|
| شکل ۳۰-۶: سرعت توربین باز هزمانی | ۵۰ | ثانیه |
| شکل ۳۱-۶: تغییرات سرعت پر خلنگر | ۷۰ | |
| شکل ۳۲-۶: ولتاژ خروجی توربین باز | ۷۰ | |
| شکل ۳۳-۶: تغییرات زاویه گام توربین باز | ۷۱ | |
| شکل ۳۴-۶: توان خروجی توربین باز دورودی مدل شده | ۷۲ | |
| شکل ۳۵-۶: تغییرات سرعت توربین باز دورودی مدل شده | ۷۲ | |
| شکل ۳۶-۶: میزان افزایش انرژی توربین باز بیرون حسب مقادیر مختلف ممmana نیز سیچر خلنگر | ۷۳ | |
| شکل ۳-۷-۱: منحنی توانومند شخصات توربین باز GE 1.5 | ۷۸ | |

فهرست علایم و نشانه‌ها

علامت اختصاری

عنوان

| | |
|---------------------|---|
| α | زاویه حمله |
| β | زاویه گام |
| ρ | چگالی هوا [kg/m^3] |
| γ | نسبت ضریب پسا به برا |
| η | راندمان |
| λ | نسبت سرعت نوک |
| σ_m | ماکزیمم مقاومت کششی [MPa] |
| σ_θ | تنش مماسی [MPa] |
| σ_r | تنش شعاعی [MPa] |
| v | ضریب پواسون |
| ω_s | سرعت زاویه‌ای ولتاژ استاتور [rad/s] |
| ω_r | سرعت زاویه‌ای ولتاژ رتور [rad/s] |
| ω_{sh} | سرعت زاویه‌ای محور ژنراتور [rad/s] |
| ω_t | سرعت زاویه‌ای رتور توربین [rad/s] |
| ω_{fw} | سرعت زاویه‌ای چرخ لنگر [rad/s] |
| ρ_w | چگالی آب [kg/m^3] |
| ε_r | ثابت دی الکتریک |
| \mathcal{E}_0 | قابلیت گذردگی خلا [F/m] |
| λ_* | نسبت سرعت نوک بهینه |
| $\dot{\omega}_t$ | نرخ تغییرات سرعت رотор [rad/s^2] |
| $\dot{\omega}_{fw}$ | نرخ تغییرات سرعت چرخ لنگر [rad/s^2] |
| ω_* | سرعت مرجع توربین [rad/s] |
| ρ_{fw} | چگالی رتور چرخ لنگر [kg/m^3] |
| d | فاصله بین صفحات خازن [m] |
| g | شتاب گرانش [m/s^2] |
| n | سرعت چرخشی [rpm] |

| | |
|----------|--|
| r_o | شعاع خارجی چرخ لنگر [m] |
| r_i | شعاع داخلی چرخ لنگر [m] |
| v_c | ولتاژ حافظه [V] |
| A | مساحت جاروب شده [m^2] |
| C | ظرفیت خارجی [F] |
| E | انرژی تولید شده [J] |
| H | ارتفاع [m] |
| I | جریان [A] |
| L | اندوكتانس سیم پیچی [H] |
| P | توان [W] |
| R | شعاع رتور توربین [m] |
| V | سرعت باد [m/s] |
| A_c | مساحت صفحات موازی خازن [m^2] |
| C_s | ضریب تغییرات سرعت چرخ لنگر |
| C_P | ضریب توان |
| C_Q | ضریب گشتاور |
| C_T | ضریب نیروی پیشرانه |
| C_D | ضریب نیروی پسا |
| C_L | ضریب نیروی برا |
| D_t | ضریب تلفات توربین بادی |
| D_{fw} | ضریب تلفات چرخ لنگر |
| E_c | انرژی ذخیره شده [J] |
| E_{sp} | چگالی انرژی در واحد جرم [Wh/Kg] |
| F_D | نیروی پسا [N] |
| F_L | نیروی برا [N] |
| J_{eq} | ممان اینرسی انتقال داده شده [$Kg.m^2$] |
| J_a | ممان اینرسی واقعی [$Kg.m^2$] |
| J_t | ممان اینرسی توربین بادی [$Kg.m^2$] |
| J_{fw} | ممان اینرسی چرخ لنگر [$Kg.m^2$] |
| K_s | ضریب شکل چرخ لنگر |

| | |
|-----------------|--|
| N_{GB} | ضریب چرخ دنده |
| P_c | ظرفیت توان [W] |
| P_m | توان مکانیکی توربین [W] |
| P_r | توان رتور ژنراتور [W] |
| P_s | توان استاتور [W] |
| P_g | توان کلی ژنراتور [W] |
| P_N | مؤلفه عمودی نیروی آئرودینامیکی وارد بر پره [N] |
| P_T | مؤلفه افقی نیروی آئرودینامیکی وارد بر پره [N] |
| P_{air} | توان باد [W] |
| $P_{air - gap}$ | توان در فاصله هواپی ژنراتور [W] |
| Q_w | نرخ حجم آب عبوری [m^3/s] |
| T_t | گشتاور توربین بادی [N.m] |
| T_g | گشتاور ژنراتور [N.m] |
| T_{fw} | گشتاور چرخ لنگر [N.m] |
| T_l | گشتاور بار [N.m] |
| T_c | گشتاور مرجع کنترل [N.m] |
| \hat{T}_t | تخمین گشتاور توربین [N.m] |
| T_{aero} | گشتاور مکانیکی وارد بر توربین بادی [N.m] |
| V_r | سرعت نسبی باد [m/s] |
| DC | جريان مستقیم |
| AC | جريان متناوب |
| TSR | نسبت سرعت نوک |
| $CAES$ | ذخیره انرژی هوای فشرده |
| $DFIG$ | ژنراتور القایی تغذیه دوسویه |
| LA | باتری سرب- اسید |
| $MPPT$ | ردیابی نقطه ماکزیمم توان |
| $NiCd$ | باتری نیکل- کادمیوم |
| NaS | باتری سدیم- سولفور |
| $PMSG$ | ژنراتور سنکرون مغناطیس دائم |
| $PHES$ | نیروگاه برق آبی تلمبه- ذخیره‌ای |

SG

ژنراتور سنکرون

SCIG

ژنراتور القایی قفس سنجابی

SMES

ابرسانای ذخیره انرژی مغناطیسی

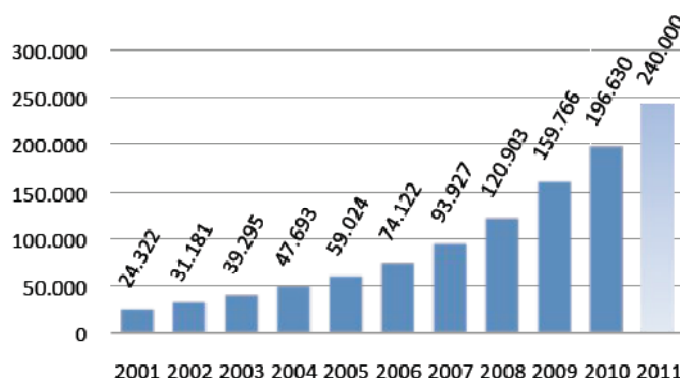
فصل ۱ - مقدمه

۱-۱ - مقدمه

پیشرفت فناوری جامعه بشری و نیاز روزافزون به دسترسی آسان منابع انرژی کارا به منظور پیشبرد اهداف جامعه، سبب شده است موضوع انرژی همواره به عنوان مسئله‌ای حائز اهمیت و پر چالش در سطح جهان مد نظر قرار گیرد. مصرف گستردگی انرژی حاصل از سوخت‌های فسیلی اگرچه رشد سریع اقتصادی جوامع مدرن را میسر نمود، اما پیامدهای آن از قبیل نشر آلاینده‌های حاصل از احتراق و گرمایش روزافزون جو کره زمین، جهان را با چالش عظیمی مواجه کرده است.

گسترش نیروگاه‌های کوچک در دنیا، پس از بحران انرژی در اوایل دهه ۷۰ میلادی رشد چشمگیری داشت. این نیروگاه‌ها اغلب بر مبنای استفاده از انرژی‌های تجدیدپذیر عمل می‌کنند. در این میان آب و باد به عنوان منابع انرژی ارزان و تجدیدپذیر بیشتر مورد توجه قرار گرفتند. سازگار کردن منابع تجدیدپذیر با روند فعلی مصرفی انرژی در جهان هنوز با مشکلاتی همراه است، که بررسی و رفع آنها حجم عظیمی از تحقیقات علمی در دهه‌های اخیر جهان را بخود اختصاص داده است، به طوری که هر روز شاهد پیشرفت‌هایی در زمینه فناوری استفاده از منابع انرژی تجدیدپذیر هستیم. در مقایسه با دیگر منابع تجدیدپذیر، انرژی بادی مفرون به صرفه بوده و بیشترین رشد را داشته است [۱]. شکل ۱-۱ ظرفیت بادی نصب شده در جهان را طی سال‌های مختلف نشان می‌دهد.

توربین‌های بادی، انرژی جنبشی باد را به انرژی مکانیکی و سپس به انرژی الکتریکی تبدیل می‌کنند. توربین‌های بادی می‌توانند به صورت متصل به شبکه و منفصل از آن بکار گرفته شوند، اما بیشترین ظرفیت توربین‌های بکار گرفته شده در سالهای اخیر بصورت متصل به شبکه بوده است. در نواحی دور افتاده بیشتر از توربین‌های منفصل استفاده می‌شود.



شکل ۱-۱: ظرفیت انرژی بادی نصب شده در جهان بر حسب MW [۲]

توربین‌های بادی را می‌توان از نقطه نظر سرعت چرخش رتور به دو نوع سرعت ثابت^۱ و سرعت متغیر^۲ تقسیم کرد. برای توربین‌های بادی با سرعت ثابت، ژنراتور مورد استفاده معمولاً از نوع القایی (آسنکرون)^۳ است و غالباً به صورت مستقیم به شبکه متصل می‌گردد. سرعت رتور این نوع توربین‌ها توسط فرکانس شبکه، جعبه دنده و تعداد قطب‌های ژنراتور تعیین می‌شود. توربین‌های سرعت ثابت نسبت به سرعت متغیر ساختاری ساده‌داشته و در نتیجه هزینه تمام شده کمتری دارند. اما این توربین‌ها به علت عملکرد در یک سرعت ثابت، تنها در یک سرعت مشخص باد، بیشینه راندمان را دارند.

توربین‌های سرعت متغیر برای کار در بازه وسیعی از سرعت‌های باد طراحی شده‌اند. در دهه‌های اخیر با بزرگتر شدن توربین‌های بادی و همچنین با کاهش قیمت ادوات الکترونیک قدرت، طراحی توربین‌ها از سرعت ثابت با کنترل استال^۴ به سرعت متغیر با کنترل زاویه گام^۵ تغییر کرده است. از مزایای توربین‌های سرعت متغیر می‌توان به راندمان بیشتر، قابلیت کنترل توان راکتیو و اعمال بار کمتر بر سیستم انتقال قدرت^۶ توربین نام برد.^[۳] بازده تولید انرژی در توربین‌های بادی با سرعت متغیر، ۲۸ تا ۳۰ درصد بیشتر از توربین‌های با سرعت ثابت است. معمولی‌ترین و به صرفه‌ترین ژنراتور مورد استفاده در توربین‌های بادی سرعت متغیر، ژنراتور القایی تغذیه دوسویه می‌باشد.^[۴]

۱-۲- تشریح بیانی مسئله

سرعت رتور توربین‌های بادی سرعت متغیر با تغییر سرعت باد، تغییر می‌کند. برای قرار دادن توربین بادی در بیشینه ضربت توان، از سیستم ردیابی نقطه ماکزیمم توان(MPPT)^۷ استفاده می‌شود. اینرسی بالای توربین و پاسخ زمانی زیاد آن و در نتیجه عدم پاسخ سریع به تغییرات سرعت بادیکی از مشکلات عمده‌ای است که MPPT با آن مواجه می‌باشد. به این معنی که توربین بادی به دلیل اینرسی بالای خود، نمی‌تواند تغییرات باد را در همان لحظه دنبال کند. در این پروژه به بررسی احتمال کاهش ثابت زمانی توربین بادی، با اتصال چرخ لنگر در موقع تغییر سرعت باد، پرداخته می‌شود. در این حالت توربین بادی سریعتر به نقطه کار بھینه خود رسیده و افزایش راندمان را در پی خواهد داشت.

¹ Fixed Speed Wind Turbine

² Variable Speed Wind Turbine

³ Induction (Asynchronous) Generator

⁴ Stall Control

⁵ Pitch Control

⁶ Drive Train System

⁷ Maximum Power Point Tracking

۱-۳-اهداف پژوهه

هدف از انجام این پژوهش افزایش انرژی بدست آمده از توربین بادی سرعت متغیر و در نتیجه افزایش راندمان آن می‌باشد. به این منظور از یک سیستم ذخیره کننده انرژی برای شتابدهی به توربین بادی استفاده شده است. به دلیل ممان اینرسی بالا، پاسخ توربین بادی به تغییرات سرعت باد سریع نمی‌باشد. در این پژوهه با به کارگیری چرخ لنگر به عنوان شتابدهنده یا کاهنده سرعت توربین بادی، اثر آن بر کاهش زمان صرف شده برای رسیدن توربین به سرعت بهینه بررسی می‌گردد.

۱-۴-مراحل انجام پژوهه

برای به پایان رساندن این پژوهه مراحل زیر انجام شده است:

- بررسی توربین‌های بادی موجود و مطالعه روش‌های انجام شده جهت افزایش راندمان این توربین‌ها.
- مطالعه بر روی معادلات حاکم بر توربین بادی و چرخ لنگر.
- مدل‌سازی و شبیه‌سازی توربین بادی و چرخ لنگر.
- مطالعه بر روی نوع ژنراتور استفاده شده برای شبیه‌سازی.
- شبیه‌سازی سامانه توربین بادی- چرخ لنگر.
- بررسی نتایج بدست آمده از شبیه‌سازی.

۱-۵-ساختار پایان‌نامه

در این رساله در فصل دوم پیشینه پژوهش بیان می‌شود. در فصل سوم بعد از معرفی منحنی مشخصه‌های توربین بادی به بررسی کارایی انواع توربین بادی از نوع برا و پسا پرداخته و راندمان آئرودینامیکی آنها مقایسه می‌شود. پس از آن، انواع سیستم‌های الکتریکی توربین بادی به صورت مختصر بیان می‌شود. در پایان فصل نیز ژنراتور القایی تغذیه دو سویه تشریح خواهد شد.

در فصل چهارم به بررسی انواع روش‌های ذخیره انرژی پرداخته شده است. در این بخش روش‌های مختلف ذخیره انرژی مقایسه و دلیل انتخاب چرخ لنگر برای اهداف این پژوهه بیان شده است.

با توجه به اهمیت مدل‌سازی صحیح یک سیستم توان در مطالعات دینامیکی و گذرا، فصل پنجم این پایان‌نامه به مدل‌سازی توربین‌های بادی اختصاص یافته است. در این فصل پس از مدل‌سازی رتور توربین و سیستم انتقال قدرت، به بررسی انواع کنترل توربین بادی پرداخته شده است و معادلات حاکم بر این